

*Федеральное государственное автономное образовательное  
учреждение высшего образования*

**«МОСКОВСКИЙ ФИЗИКО-ТЕХНИЧЕСКИЙ ИНСТИТУТ»**

*Манро Эйден Форбс  
студент 2 курса группы Б01-307*

## **ВОПРОС ПО ВЫБОРУ**

по курсу общей физики «Оптика»

на тему:

**Зоны Шустера и спираль Корню**

Москва 2025

# 1 Введение

В одномерных задачах, например при рассмотрении дифракции на прямоугольной щели, разбиение волнового фронта на кольцевые зоны нецелесообразно. Лучше разбивать волновой фронт на полосатые зоны, называемые зонами Шустера (1851-1934).

## 2 Теория

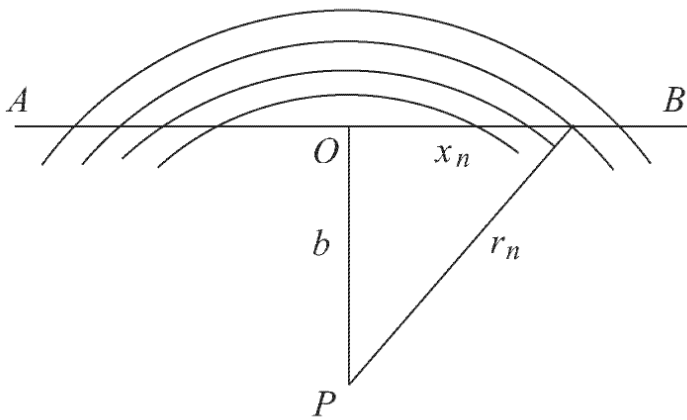


Рис. 1

Ограничимся случаем когда волновой фронт плоский, хотя обобщение на случай сферического фронта и не встречает никаких препятствий. Пусть плоскость волнового фронта АВ перпендикулярна к плоскости рис. 1. Обозначим через  $b$  длину перпендикуляра РО, опущенного из точки наблюдения на волновой

фронт. Проведем цилиндрические коаксиальные поверхности, ось которых проходит через точку Р перпендикулярно к плоскости рисунка, а радиусы равны  $b, b + \lambda/2, b + 2(\lambda/2), \dots$  Тогда волновой фронт разобьется на прямоугольные полосы, которые и называются зонами Шустера. Центральную зону условимся считать за две зоны: одна расположена справа, а другая слева от точки О. Тогда  $r_n^2 = b^2 + x_n^2, r_{n-1}^2 = b^2 + x_{n-1}^2$ , а потому

$$r_n^2 - r_{n-1}^2 = x_n^2 - x_{n-1}^2.$$

Приближённо

$$r_n^2 - r_{n-1}^2 = (r_n + r_{n-1})(r_n - r_{n-1}) = 2b(\lambda/2) = b\lambda.$$

Таким образом, получаем рекуррентное соотношение

$$x_n^2 - x_{n-1}^2 = b\lambda,$$

из которого могут быть найдены все  $x_n$ . Так как  $x_0 = 0$ , то

$$x_1 = \sqrt{b\lambda}, \quad x_2 = \sqrt{2b\lambda}, \quad \dots, \quad x_n = \sqrt{nb\lambda}.$$

Ширины последовательных зон Шустера будут

$$\sqrt{b\lambda}, \quad (\sqrt{2} - 1)\sqrt{b\lambda}, \quad (\sqrt{3} - \sqrt{2})\sqrt{b\lambda}, \dots$$

Они монотонно убывают и в пределе, когда  $r \rightarrow \infty$ , стремятся к  $\lambda/2$ , как это ясно из их построения. (Впрочем высшие зоны не играют роли. Имеют значение не только несколько десятков первых зон Шустера).

Как и в случае зон Френеля, применим теперь графический метод. Каждую зону Шустера разобьем на узкие полоски и будем изображать колебание в точке Р, вносимое отдельной полоской, вектором на векторной диаграмме. Затем перейдем к пределу, устремляя к нулю ширину каждой полоски. В результате чего получится плавная кривая, называемая спиралью Корню (1841-1902). Она состоит из двух симметричных ветвей, бесконечное число раз обвивающихся вокруг «фокусов»  $F$  и  $F'$  и неограниченно приближающихся к ним.

Верхняя ветвь представляет действие правой половины волнового фронта, нижняя — левой. Отличие каждой из ветвей от соответствующей спирали Френеля обусловлено более быстрым убыванием начальных зон

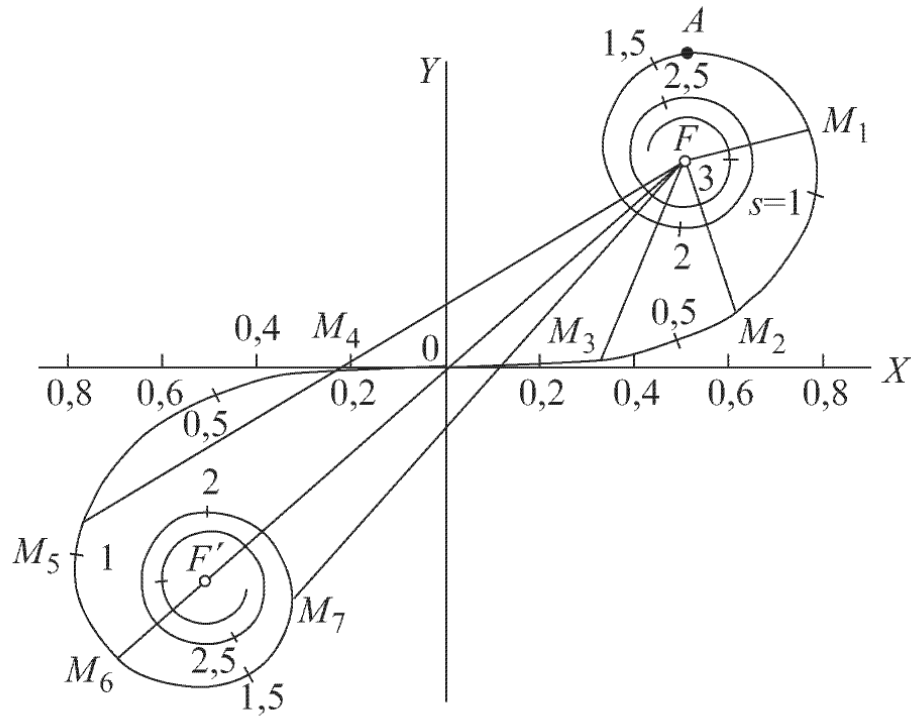


Рис. 2

Шустера, чем зон Френеля. Колебание, возбуждаемое первой правой зоной Шустера, изображается вектором  $\vec{OA}$ , второй правой — вектором  $\vec{AB}$ , двумя первыми правыми зонами вместе — вектором  $\vec{OB}$  и т.д. (все эти векторы на рис. 2 не проведены). Колебание, возбуждаемое всем волновым фронтом, представляется вектором  $\vec{F'F}$ , соединяющим фокусы спирали Корню. По мере приближения к фокусам амплитуды колебаний становятся все меньше и меньше и в пределе обращаются в нуль.

При нахождении уравнения спирали Корню надо учесть, что реально всегда приходится иметь дело не с бесконечными, а с ограниченными волновыми фронтами, причём заметная интенсивность наблюдается лишь при малых углах дифракции. Поэтому в формуле  $E_P = \int \frac{1}{rr'} e^{i\Phi(\mathbf{R})} dF$  изменения знаменателей  $r$  и  $r'$  (а также уже отброшенных ранее ослабляющих множителей  $K(\alpha)$ ) можно не принимать во внимание. Если нас интересует только относительное распределение интенсивности, то можно

положить  $rr' = 1$ . В плоскости волнового фронта фазу можно представить в виде  $\Phi = \omega t - kr$  (здесь произведено переобозначение: в формуле (41.1) расстояние  $r$  обозначалось через  $r'$ ).

Примем волновой фронт за координатную плоскость  $XU$ , а начало координат поместим в точке  $O$ . Тогда  $r^2 = b^2 + (x^2 + y^2)$ , а следовательно,

$$r - b = \frac{x^2 + y^2}{2b} + \dots$$

Члены высших степеней можно отбросить, если даже они добавляют в фазу слагаемые порядка  $\pi$  и больше. Дело в том, что такие члены, как это видно из формы спирали Корню, не меняя общего характера дифракционной картины, производят в ней только практически незаметные смещения высших дифракционных максимумов и минимумов. Кроме того, высшие дифракционные максимумы и минимумы следуют друг за другом столь часто, что для их реального осуществления требуются точечные источники света высокой степени монохроматичности. В противном случае все дифракционные полосы высших порядков размываются и переходят в равномерно освещённый фон. Отбросим все фазовые множители, не влияющие на относительное распределение интенсивности светового поля. Тогда поле в точке наблюдения  $P$  представится интегралом

$$E_P = \iint e^{-ik(x^2+y^2)/(2b)} dx dy.$$

Интегрирование должно быть выполнено по всей открытой поверхности волнового фронта. Допустим, что в направлении оси  $Y$  она простирается достаточно далеко в обе стороны. Тогда интегрирование по  $y$  можно выполнить в пределах от  $-\infty$  до  $+\infty$ , в результате чего появится постоянный множитель, не представляющий интереса. Интегрирование по  $x$  произведём от нуля, считая верхний предел  $x$  переменным (он может быть и положительным, и отрицательным). Вместо  $x$ , как это принято,

введём новую переменную  $s$  по формуле  $kx^2/b = \pi s^2$ . Тогда

$$E_P = \int_0^s e^{-i\pi s^2/2} ds, \quad (1)$$

$$E_P^* = \int_0^s e^{i\pi s^2/2} ds. \quad (2)$$

При изображении колебаний можно пользоваться как выражением (1), так и комплексно сопряжённым с ним (2). При построении спирали Корню обычно применяют выражение (2). Оно и представляет уравнение спирали Корню в комплексной форме. Если координатные оси выбраны так, как указано на рис. 2, то в прямоугольных координатах уравнение спирали Корню запишется в виде

$$X(s) = \int_0^s \cos \frac{\pi s^2}{2} ds, \quad Y(s) = \int_0^s \sin \frac{\pi s^2}{2} ds. \quad (3)$$

Входящие сюда интегралы называются **интегралами Френеля**. Очевидно,

$$X(s) = -X(-s), \quad Y(s) = -Y(-s),$$

т.е. кривая (3) симметрична относительно начала координат.

Полагая  $s = \infty$ , находим координаты фокусов спирали Корню:

$$X_F = Y_F = \frac{1}{2}, \quad X_{F'} = Y_{F'} = -\frac{1}{2}.$$

Впрочем, для многих целей проще пользоваться непосредственно комплексной формой (2). В частности, для дифференциала дуги спирали Корню из (2) находим:  $\left| e^{i\pi s^2/2} ds \right| = |ds|$ . Отсюда следует, что параметр  $s$  есть длина дуги спирали, отсчитываемая от начала координат  $O$ .

Если  $\tau$  — угол между касательной к спирали Корню и осью  $X$ , то  $\tan \tau =$

$\frac{dY}{dX} = \tan\left(\frac{\pi s^2}{2}\right)$ , а потому

$$\tau = \frac{\pi s^2}{2}. \quad (4)$$

При  $s = 0$  угол  $\tau = 0$ , т.е. в начале координат кривая касается оси  $X$ . При  $s = 1$  касательная вертикальна и идёт вверх. При  $s = \sqrt{2}$ ,  $\tau = \pi$  касательная снова горизонтальна, но идёт в отрицательном направлении оси  $X$ . При  $s = \sqrt{3}$ ,  $\tau = \frac{3\pi}{2}$  она вертикальна и идёт вниз. При  $s = 2$ ,  $\tau = 2\pi$  касательная принимает исходное — горизонтальное — направление. Формула (4) позволяет наглядно проследить, как кривая обвивается вокруг фокусов  $F$  и  $F'$ , делая при этом бесконечное число оборотов. Эта формула особенно полезна в том отношении, что она позволяет по заданному параметру  $s$  легко находить соответствующую точку на спирали Корню.

Из формулы (4) получаем формулу для кривизны спирали Корню:

$$\frac{1}{R} = \frac{d\tau}{ds} = \pi s.$$

Длина всей спирали Корню бесконечна, а потому при приближении к фокусам её кривизна стремится к бесконечности.

**3.** При работе со спиралью Корню надо знать значение параметра  $s$ . Его легко найти, зная на экране расстояние  $x$  точки наблюдения от центра картины  $O$  (см. рис. 1). Вычислив ширину первой зоны Шустера  $\sqrt{\lambda b}$ , находим далее  $s = x\sqrt{2/(\lambda b)}$ .

Рассмотрим в качестве примера дифракционную картину от прямолинейного края экрана (рис. 3). Где бы ни находилась точка наблюдения  $P$ , для неё всегда будет открыт правый край волнового фронта. На векторной диаграмме (см. рис. 2) колебание в точке наблюдения представится вектором  $M_n\dot{F}$ , конечная точка которого всегда находится в верхнем фокусе  $F$ , а начальная  $M_n$  лежит где-то на спирали Корню. Если, сохра-

няя неизменным положение конечной точки  $F$ , перемещать начальную точку  $M_n$  вдоль спирали Корню (положения  $M_1, M_2, M_3, \dots$ ), то таким путём можно получить распределение амплитуд и интенсивности колебаний света по всему экрану.

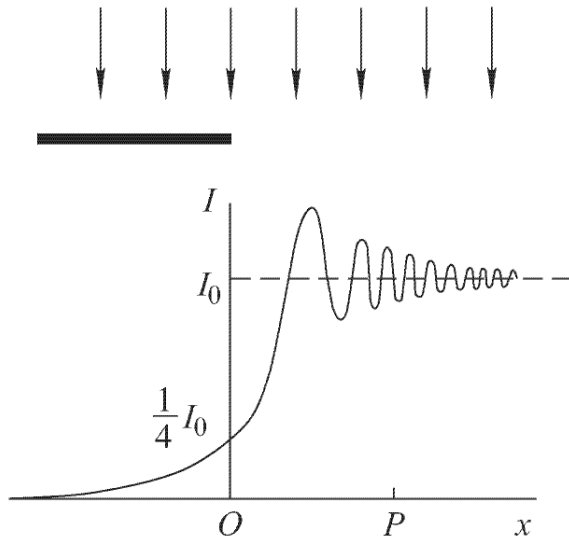


Рис. 3

Обозначим через  $a_0 = |FF'|$  и  $I_0 = a_0^2$  амплитуду и интенсивность волны, когда открыт весь волновой фронт. Когда точка наблюдения  $P$  находится на границе геометрической тени, то колебание представится вектором  $O\dot{F} = \frac{1}{2}F'\dot{F}$ . Ему соответствует амплитуда  $a_0/2$  и интенсивность  $I_0/4$ . При перемещении точки  $P$  в освещённую область экрана изображающая точка  $M_n$  начнёт перемещаться по нижней ветви спирали Корню, а амплитуда и интенсивность колеба-

ний будут последовательно проходить через максимумы и минимумы. Максимальная амплитуда, как видно из рис. 2, составляет  $1,12a_0$ , а интенсивность  $1,25I_0$ ; минимальные значения их соответственно  $0,89a_0$  и  $0,78I_0$ . При дальнейшем продвижении в освещённую область интенсивность асимптотически приближается к  $I_0$ . При погружении точки  $P$  в область геометрической тени изображающая точка  $M_n$  перемещается по верхней ветви спирали Корню. При этом по мере погружения в указанную область интенсивность света монотонно убывает и асимптотически стремится к нулю.

Распределение интенсивности графически представлено на рис. 3. Таким образом, нет резкой границы между светом и тенью: в области геомет-



рической тени интенсивность света убывает непрерывно и монотонно, а освещённая область расщепляется в дифракционные полосы. На рис. 4 показана дифракционная картина, наблюдаемая при дифракции света на крае экрана. Таким же путём можно рассчитать дифракционную картину на щели или длинном прямоугольном экране. На рис. 5 показана тень проволоки от точечного (или линейного) источника.

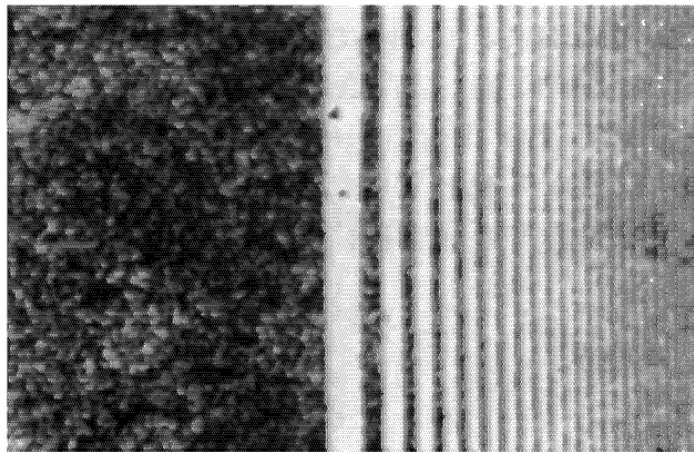


Рис. 4

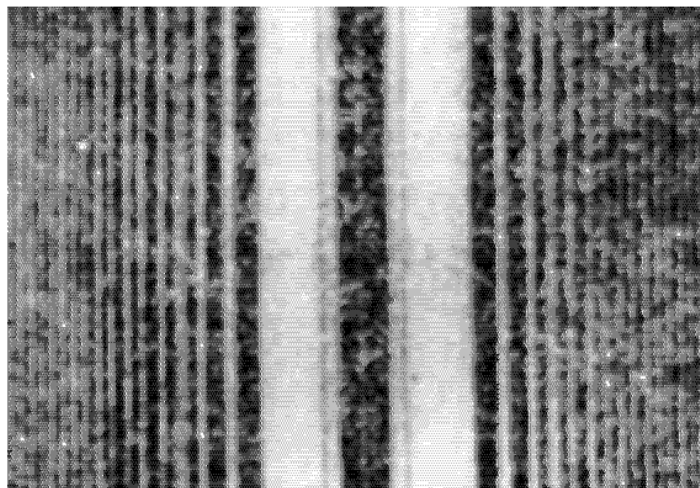


Рис. 5

### 3 Литература

- [1] Сивухин Д.В. Общий курс физики. Учеб. пособие: Для вузов, В 5 т. Т. IV. Оптика. - 3-е изд., стереот. - М.: ФИЗМАТЛИТ, 2005. - 792 с.